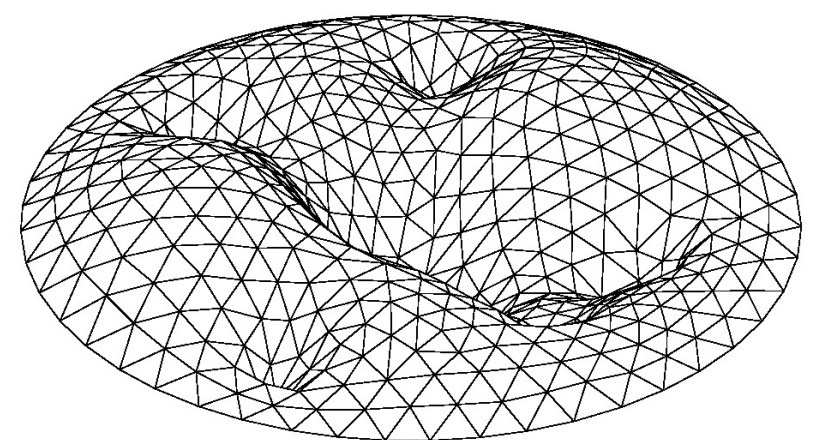
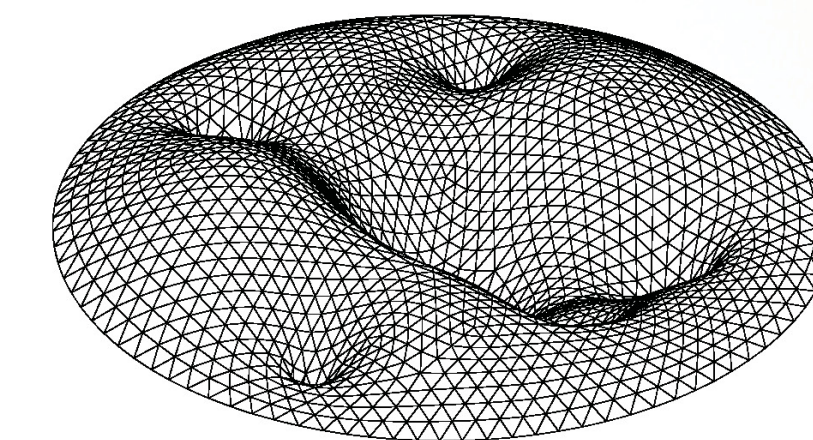


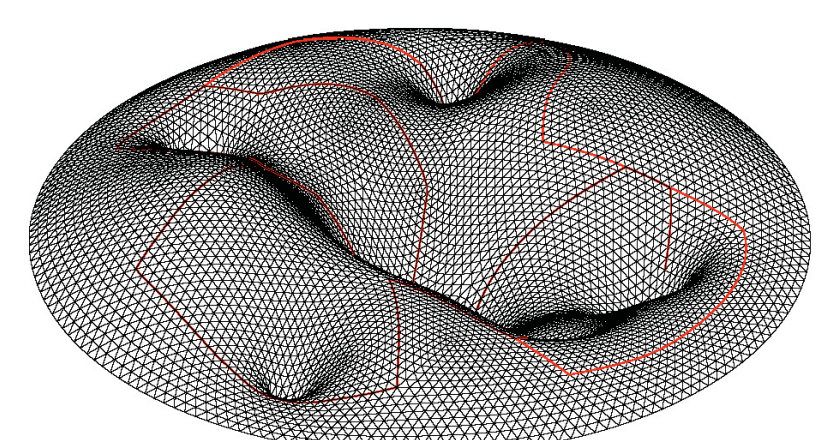
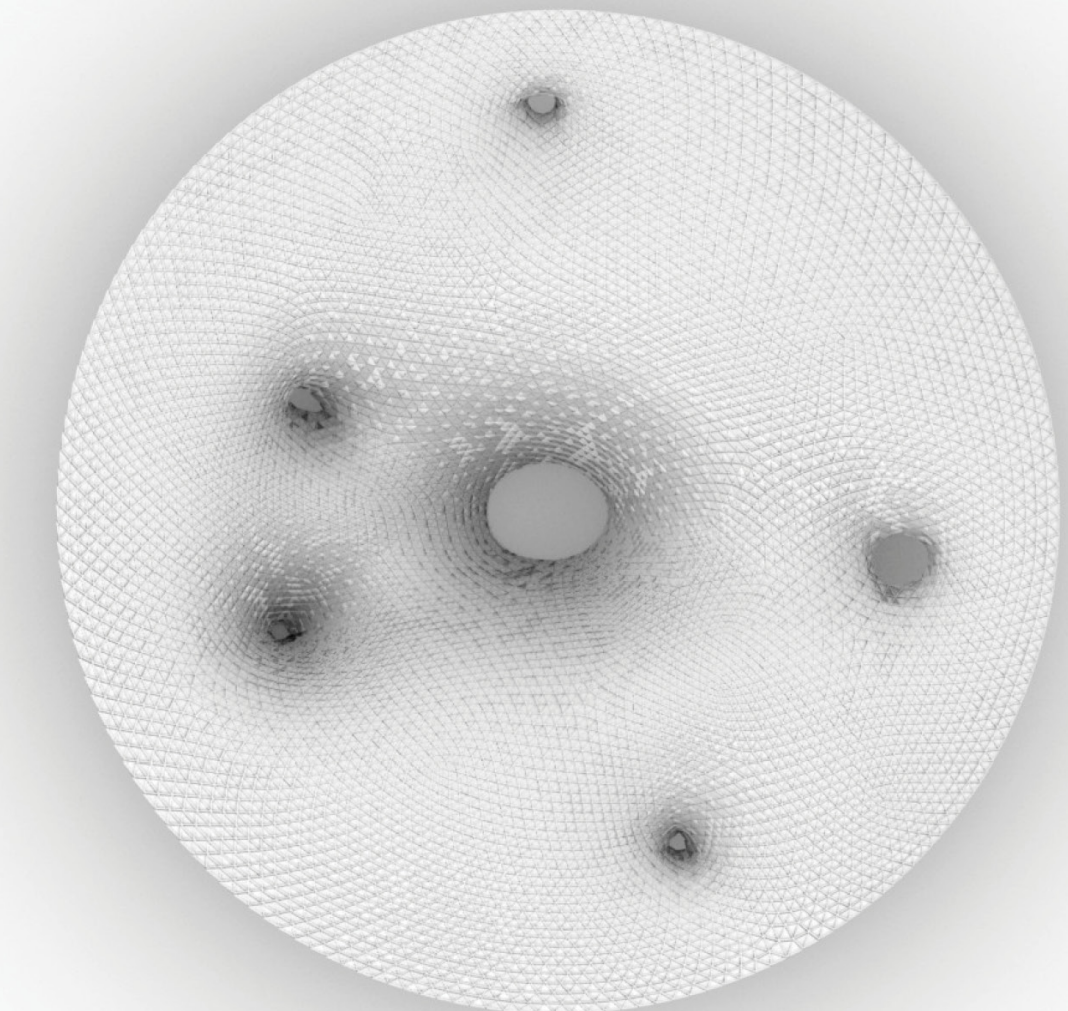
Distribución inicial triángulos equiláteros obtenido mediante remalla topológico a partir de la malla de cálculo



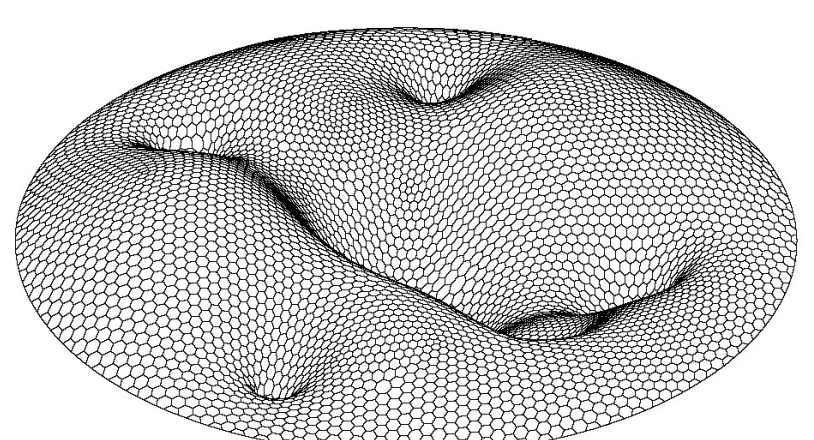
Primera subdivisión y relajación por algoritmo de Lloyds sobre la superficie



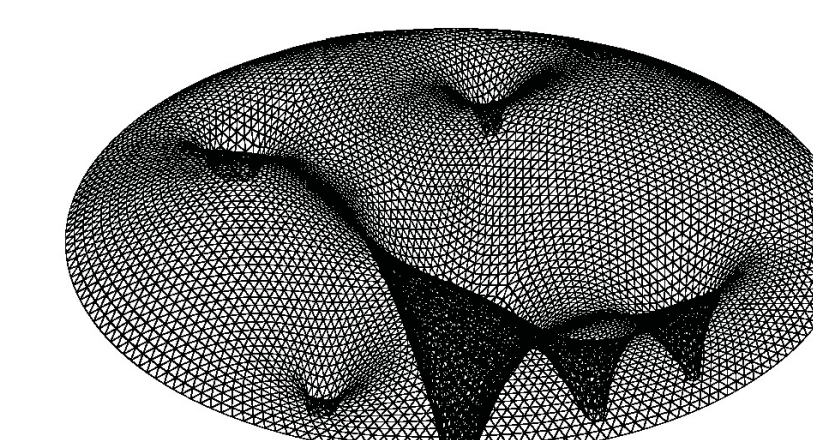
Mallado final constructivo



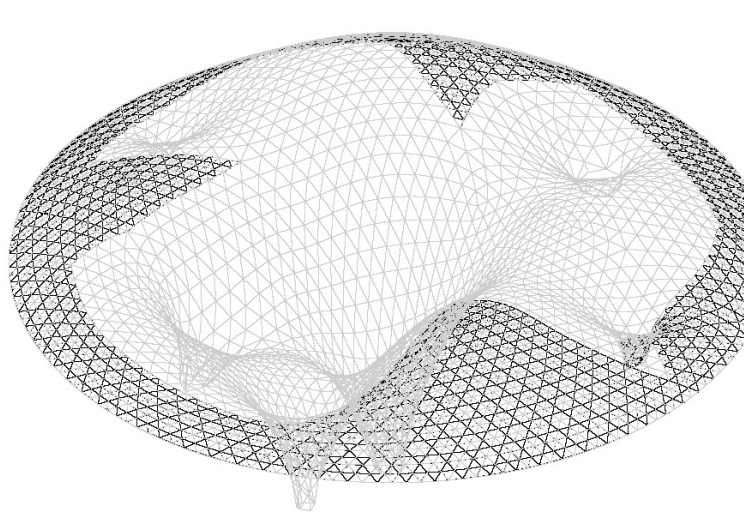
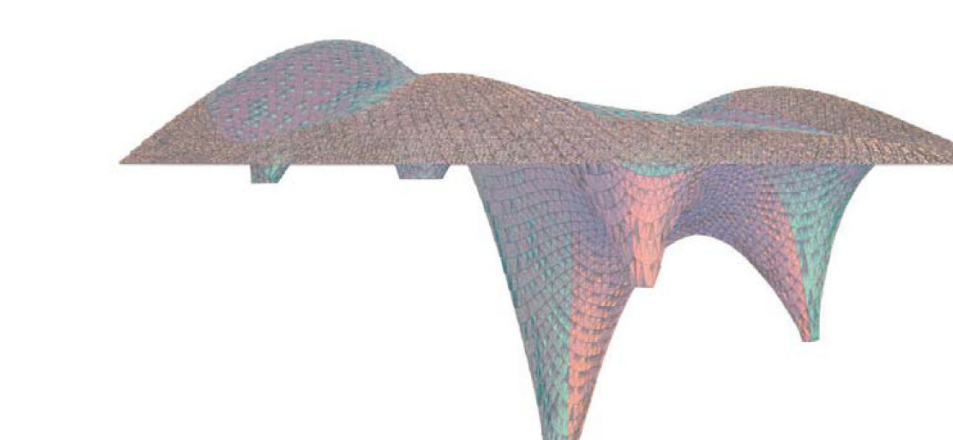
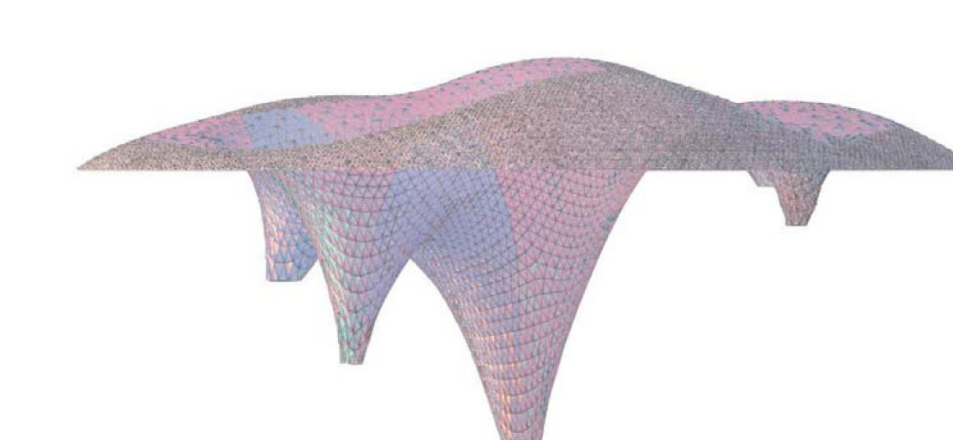
cordones demontaje y juntas de dilatacion



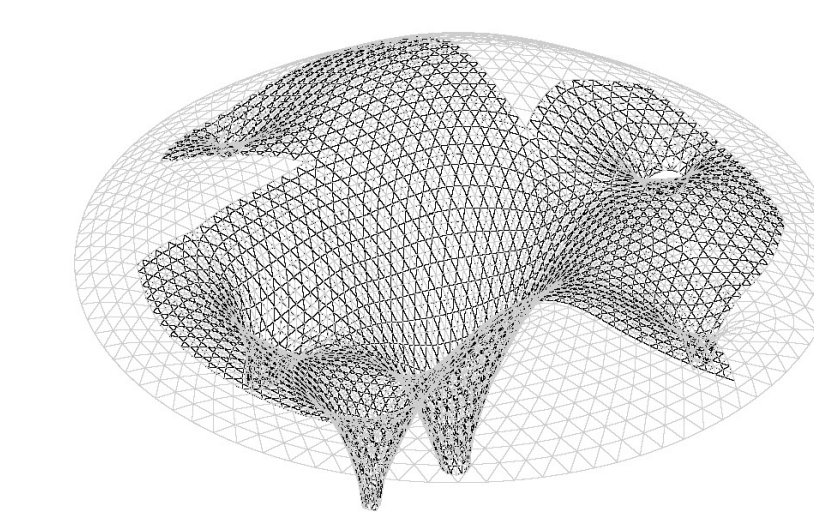
mallado del soporte de sprinklers



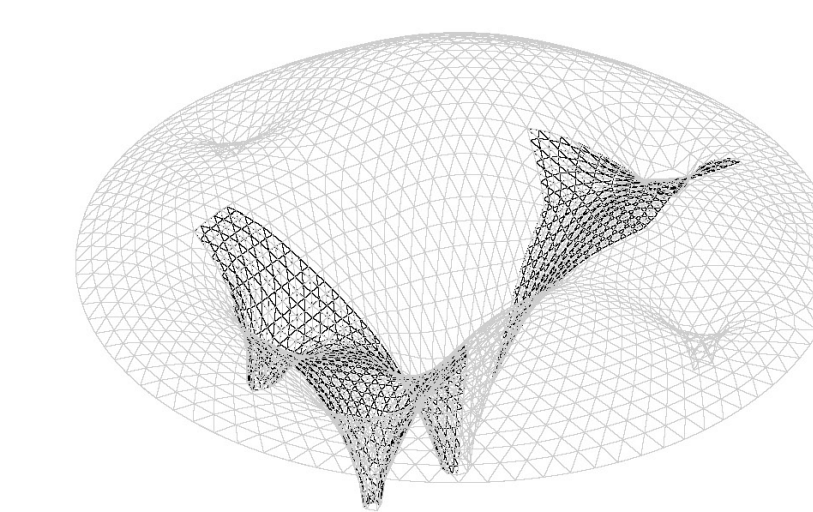
malla estructural perfilería metálica



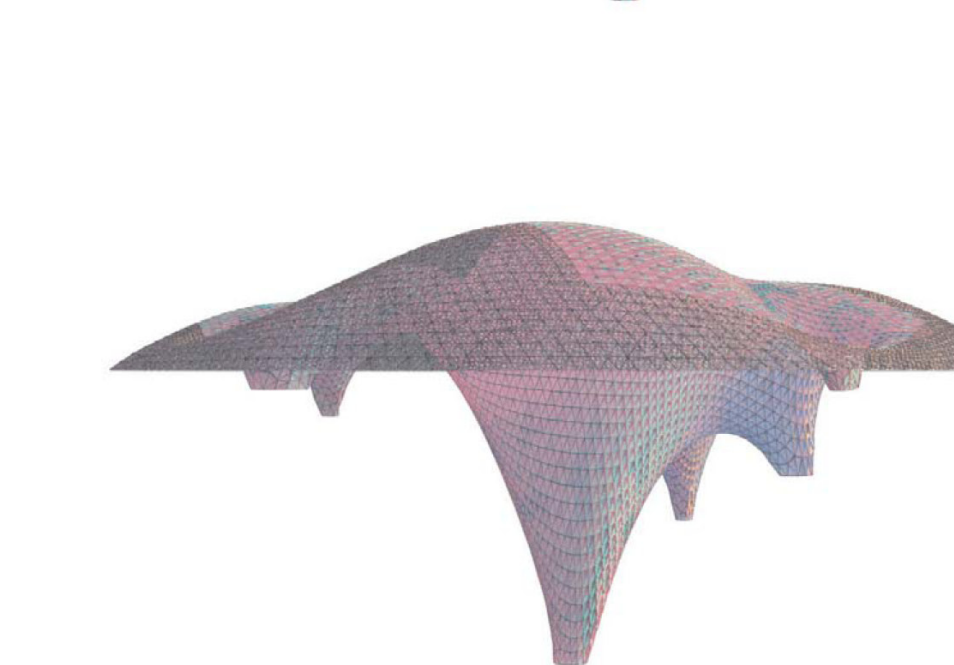
malla estructural perfilería metálica



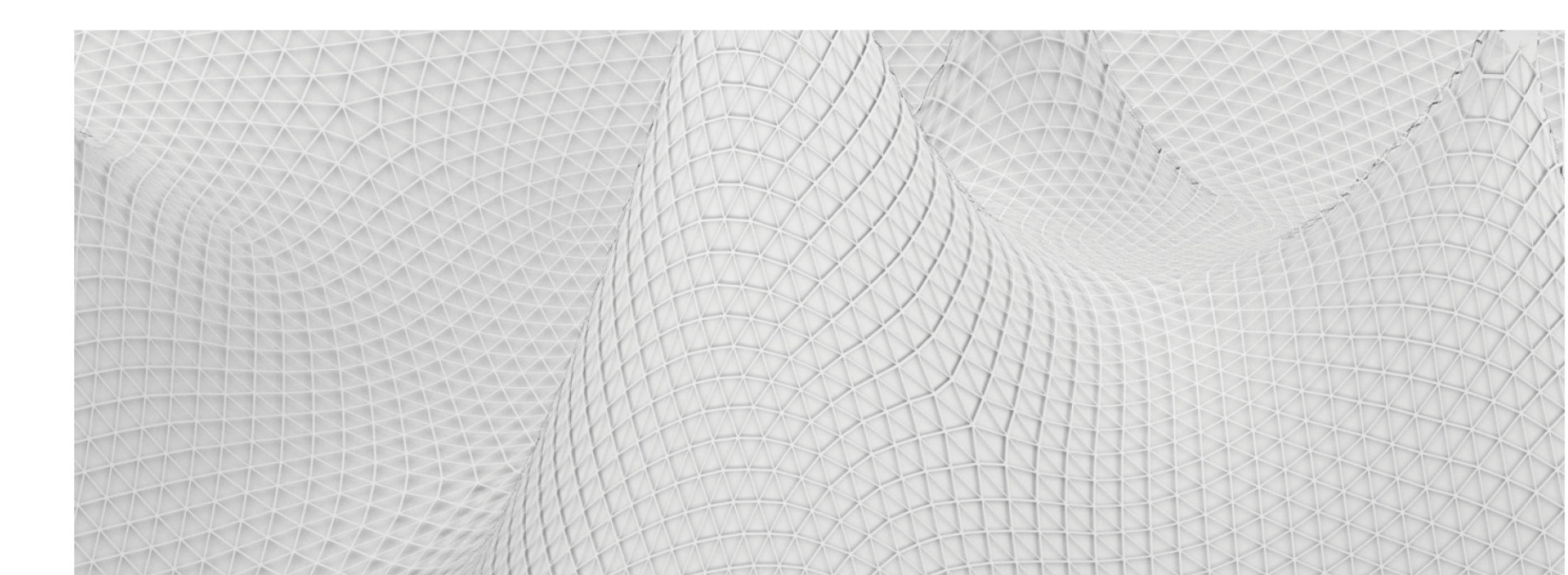
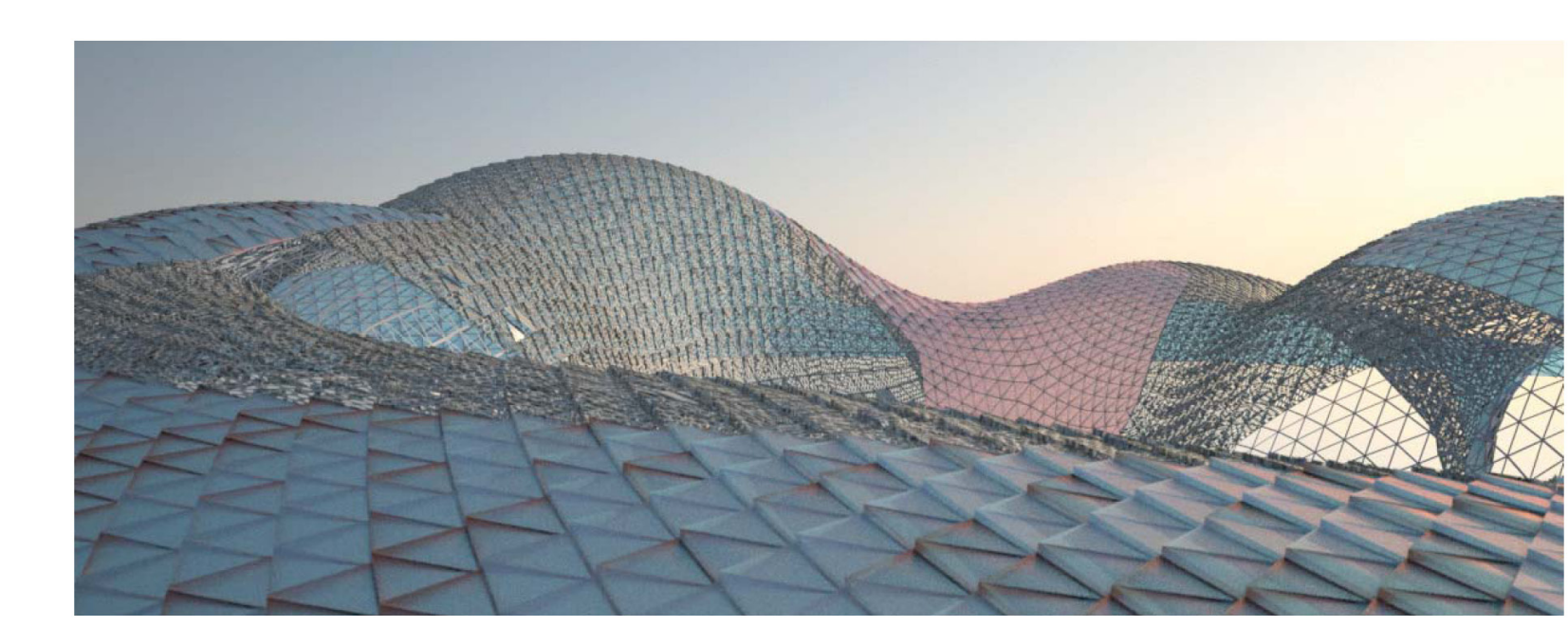
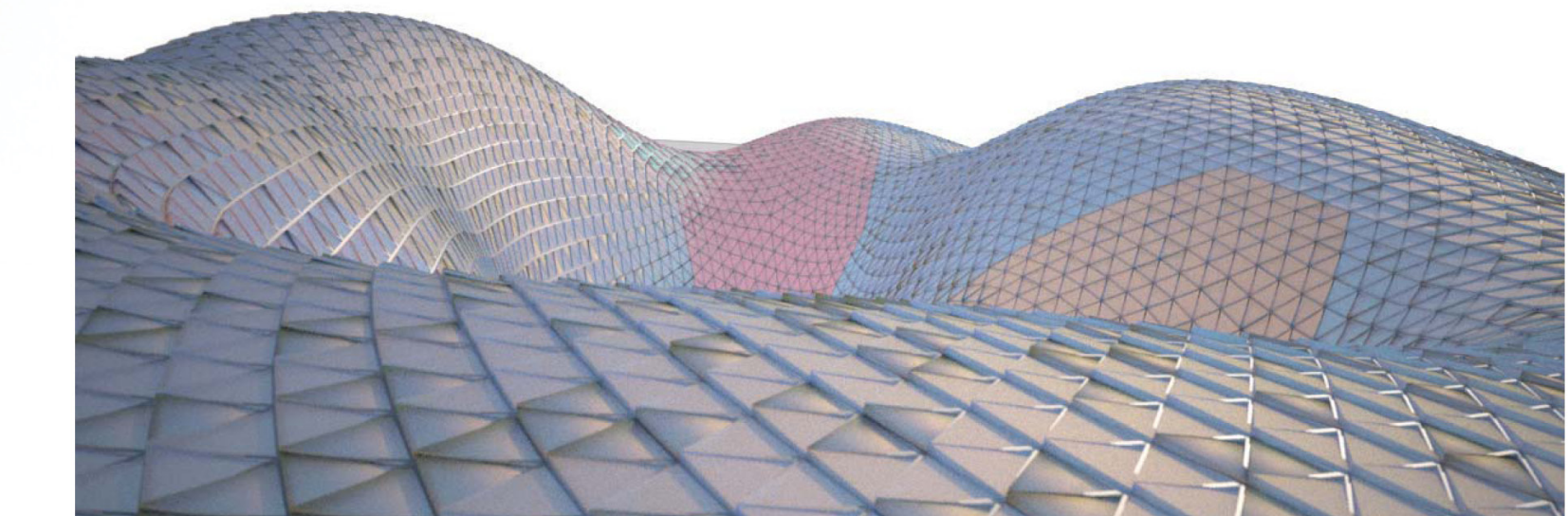
lama permeable de verano con zirconio



lama fotovoltaica



lama display LED



cubrición neumática eventual

escenario primavera

escenario otoño

escenario invierno

